

“APLICAÇÕES DE SAIS DE TÁLIO (III) EM SÍNTESE ORGÂNICA”

Parte II
Helena M. C. Ferraz

Instituto de Química — Universidade de São Paulo
C.P. 20780 — São Paulo — SP

Recebido em 08/07/87; cópia revisada em 28/09/88

1. INTRODUÇÃO

Na primeira parte deste trabalho¹ foram discutidos os diversos tipos de reações de sais de tálio (III) com substratos olefinicos. Nesta segunda parte serão apresentadas as reações de sais de tálio (III) com substratos carbonílicos e acetilénicos.

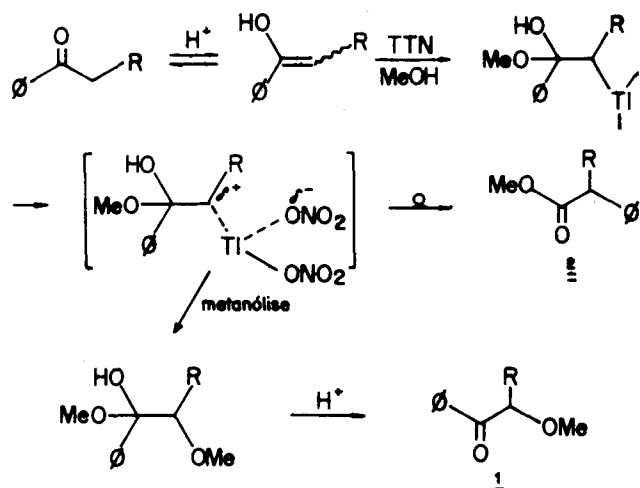
Semelhantemente às olefinas, cetonas enolizáveis também podem ser oxidadas por reagentes de tálio (III). Os produtos finais da oxidação, neste caso, serão a cetona alfa-oxidada 1 ou o derivado de ácido carboxílico 2, proveniente do rearranjo oxidativo do aduto taliado (ESQUEMA I).

enolizáveis reagem com sais de tálio (III) levando a ácidos (ou ésteres) carboxílicos e a alfa-cetonas.

Acetofenonas, por exemplo, reagem com trinitrato de tálio (TTN) em MeOH/HClO₄ formando os arilacetatos de metila provenientes de um rearranjo oxidativo^{2,3}. O rendimento da transformação depende da natureza do substituinte no anel aromático: a reação apresenta baixos rendimentos quando o anel contém grupos atraentes de elétrons, e falha para compostos contendo o grupoamento amina como substituinte. A formação do produto alfa-oxidado, nestas condições, é um processo minoritário.

A Tabela 1 relaciona alguns exemplos representativos³.

ESQUEMA I



Acetilenos também são oxidados por sais de tálio (III), sendo que a natureza do produto formado depende fundamentalmente da estrutura do acetileno de partida e das condições reacionais empregadas. Os mecanismos propostos para estas oxidações serão vistos detalhadamente mais tarde.

2. SUBSTRATOS CARBONÍLICOS

2.1. Reações com cetonas acíclicas

Conforme foi apresentado no ESQUEMA I, cetonas

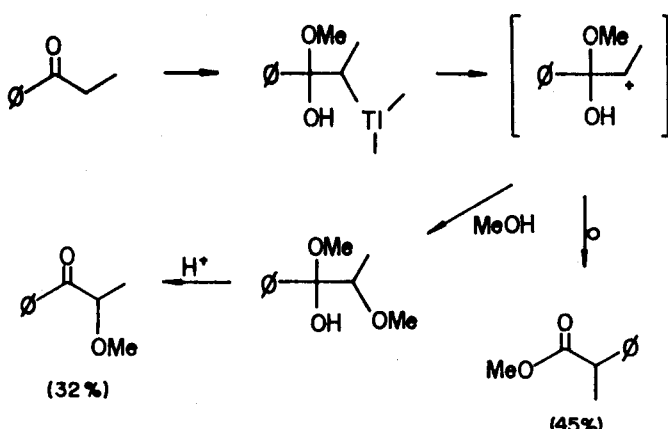
Tabela 1
 $\text{ArCOCH}_3 \xrightarrow[\text{MeOH/HClO}_4/\text{t.a.}]{\text{TTN}} \text{ArCH}_2\text{COOCH}_3$

Ar	Tempo de reação (h)	rendimento (%)
fenila	5	84
4-bromofenila	15	35*
4-fluorofenila	17	44*
4-hidroxifenila	2	64*
2-metoxifenila	12	62*
3-metoxifenila	12	68
4-metoxifenila	1	89
3,4-dimetoxifenila	1	88
3-nitro-4-metoxifenila	15	59
1-acetilnaftila	2	91

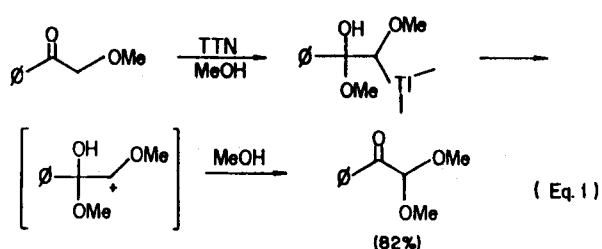
* Produto isolado após hidrólise alcalina.

Nas mesmas condições reacionais, a oxidação da propofenona é bem menos seletiva, fornecendo quantidades substanciais do produto alfa-oxidado. A obtenção deste produto é explicada pela formação de um carbocátion secundário (portanto mais estabilizado do que no caso da acetofenona) favorecendo a solvólise em detrimento do rearranjo. (ESQUEMA II).

ESQUEMA II

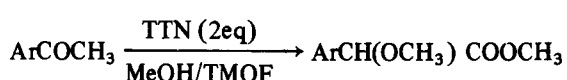


No mesmo trabalho³ mostra-se ainda que a alfa-metoxiacetofenona fornece o dimetilacetal-fenilgioxal com 82% de rendimento, não sendo observado o produto de rearranjo. Neste caso, o carbocátion é estabilizado pelo grupo metoxila, favorecendo ainda mais a metanolise (Eq. 1).



Por outro lado, utilizando-se trimetilortoformato (TMOF) como co-solvente, acetofenonas-reagem com 2 equivalentes de TTN, fornecendo como único produto o alfa-metoxiarilacetato de metila correspondente, conforme exemplos mostrados na Tabela 2⁴.

Tabela 2

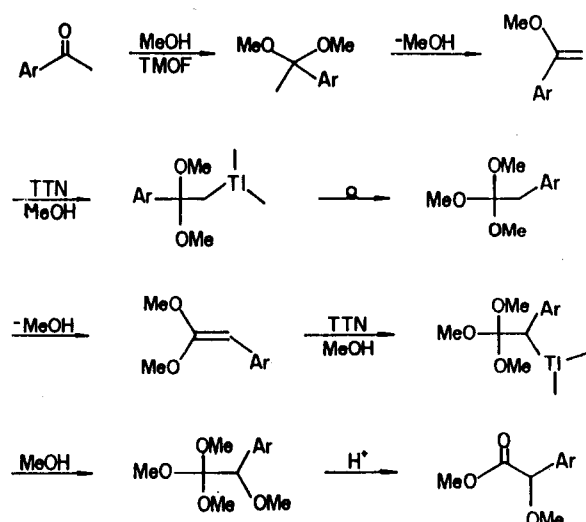


Ar	rendimento (%)
fenila	70
4-metoxifenila	81
4-nitrofenila	81
3-fenoxifenila	97

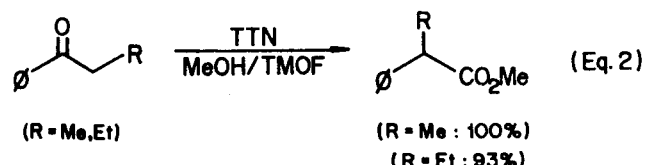
Tais resultados sugerem que em presença de TMOF a reação se processe através da formação "in situ" do ce-

tal, seguida por uma perda de metanol, formando o alfa-metoxiestireno, que seria então convertido no produto final através da sequência mostrada no ESQUEMA III.

ESQUEMA III



Propiofenona e butirofenona, por sua vez, sofrem o rearranjo "normal" quando tratadas com TTN em MeOH/TMOF, não se observando a alfa-metoxilação, aparentemente por razões de maior impedimento estérico (Eq. 2)⁴.

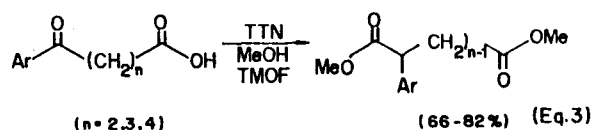


Resultados semelhantes foram obtidos pelo tratamento de propiofenona e butirofenona com TTN adsorvido em suporte sólido (Montmorillonite K-10); acetofenonas também foram convertidas, nestas condições, aos arilacetatos de metila correspondentes em ótimos rendimentos⁵.

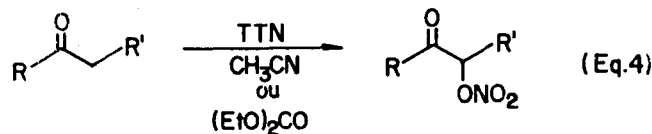
Eteres enólicos de arilalquilcetonas são oxidados selectivamente a 2-aryl-alcanoatos por vários sais de tálio, hidratados ou anidros, mesmo na ausência de TMOF ou de um suporte sólido⁶. A formação do produto alfa-oxidado é praticamente inexistente, conforme se pode constatar na Tabela 3.

Estes resultados vêm confirmar a participação de éteres enólicos como intermediários nas transformações anteriormente descritas^{4,5}.

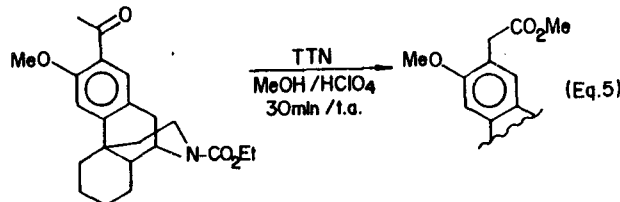
Uma extensão do rearranjo de acetofenonas, levando a alfa-arildiésteres, foi recentemente descrita⁷. O procedimento envolve a reação de ácidos w-arolalcanóicos com TTN/MeOH/TMOF, conforme o exemplo geral mostrado a seguir (Eq. 3).



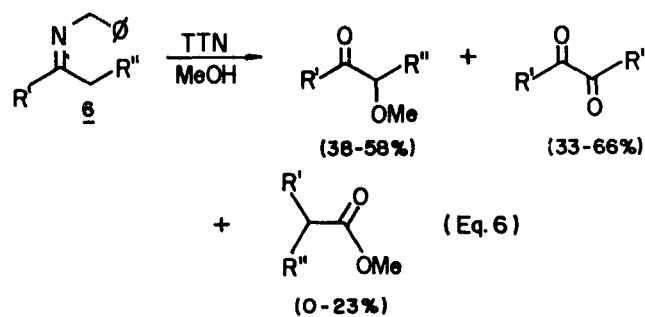
A oxidação de cetonas com TTN em solventes não nucleofílicos, tais como acetonitrila ou dietilcarbonato, fornece com bons rendimentos os alfa-nitratos, em vez de um rearranjo do esqueleto; as cetonas estudadas incluem acetofenonas substituídas, propiofenona e algumas cetonas alifáticas (Eq. 4)⁸.



A transformação de arilalquilcetonas em ésteres, promovida por TTN, foi aplicada com sucesso à síntese de um derivado da morfina (Eq. 5)⁹.



Em contraste com a oxidação da cetona correspondente, a imina 6 leva a pequenas quantidades dos ésteres de rearranjo, havendo predominância dos produtos alfa-oxidados (Eq. 6)¹⁰.

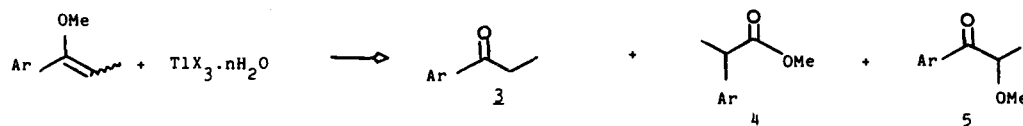


2.2. Reações com cetonas cíclicas

O mecanismo de oxidação de cetonas cíclicas com sais de tálio (III) foi investigado por diversos autores, sendo que inicialmente houve algumas controvérsias a respeito.

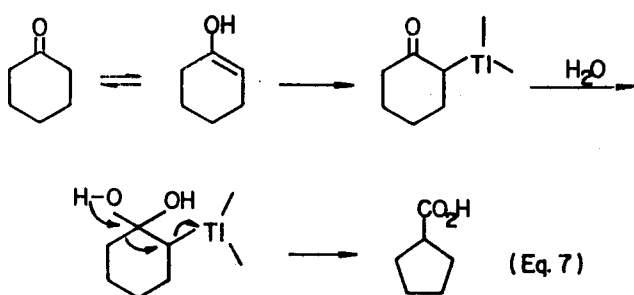
Estudando a reação de ciclohexanona com íons Tl^{+3} em $HClO_4/H_2O$, Littler¹¹ obteve como principal produto a alfa-hidroxi-ciclohexanona. Resultados semelhantes haviam sido obtidos utilizando-se TTA em $AcOH$ ¹². Em contraste com estes resultados, Wiberg e Koch¹³ relatam que o principal produto obtido em meio ácido é o

Tabela 3



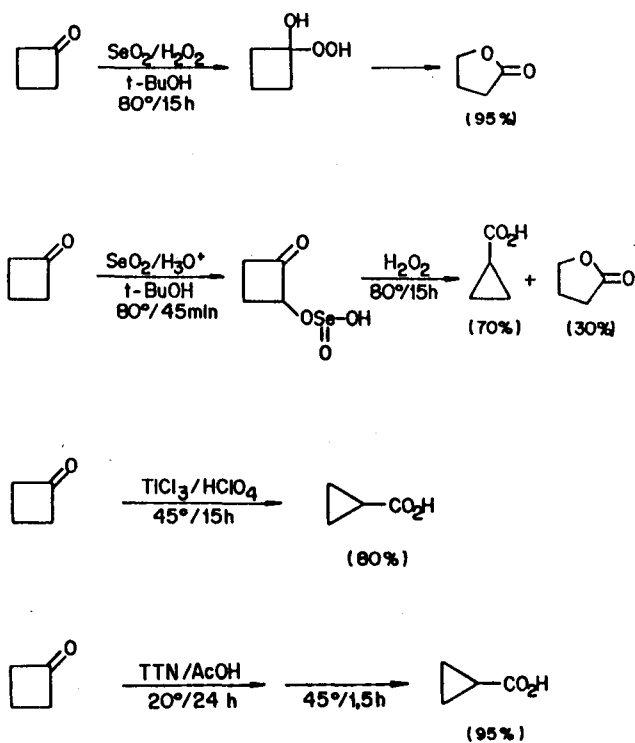
Sal	Condições	Produto (proporção) 3 : 4 : 5
TTN.3H ₂ O	1,1 eq., MeOH, HC1O ₄ aq., 0°, 5 min	24 72 ~1
	1,1 eq., MeOH, t.a., 5 min	7 92 <1
Tl ₂ (SO ₄) ₃ .nH ₂ O	1,1 eq., MeOH, 0°, 5 min	42 56 <1
	1,7 eq., meOH, 0°, 5 min	11 89 <1
Tl(C1O ₄) ₃ .nH ₂ O	1,1 eq., MeOH, 0°, 5 min	16 78 <1
TTA.1,5 H ₂ O	1,1 eq., AcOH aq., 25°, 20 min	25 72 <1
	2,0 eq., AcOH aq., 25°, 30 min	8 89 <1

ácido ciclopentanocarboxílico, que se forma em 75% de rendimento, e sugerem o seguinte mecanismo para a formação do produto de contração do anel (Eq. 7).



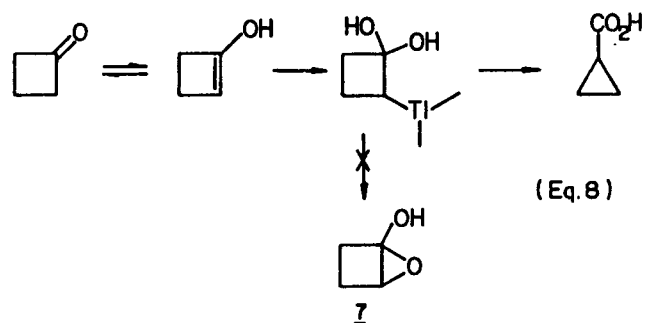
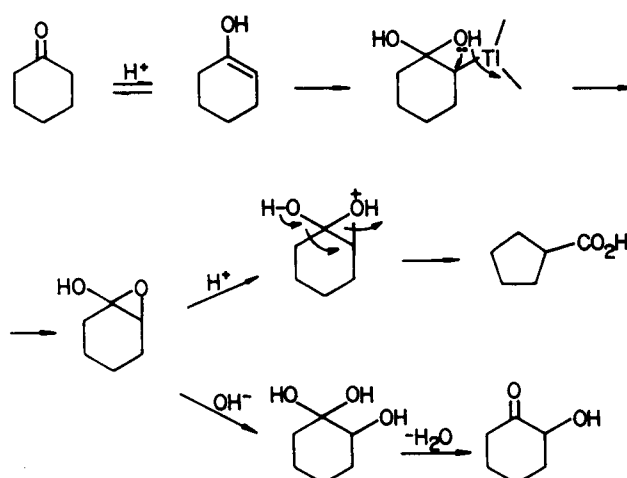
Mais tarde, McKillop e Taylor¹⁴ demonstraram que a formação de diferentes produtos está relacionada com a temperatura, e que ambos os trabalhos anteriores estavam parcialmente corretos. Assim, a oxidação de ciclohexanona com TTN à temperatura ambiente, seguida de remoção do nitrato de tálio (I) por filtração e neutralização do filtrado com NaHCO₃, resulta na formação da alfa-hidroxi-ciclohexanona em 84% de rendimento; por outro lado, aquecendo-se o filtrado a 40° por alguns minutos, obtém-se como único produto o ácido ciclopentanocarboxílico. Os autores sugerem que o mecanismo destas transformações pode ser melhor representado como se mostra no ESQUEMA IV.

ESQUEMA V

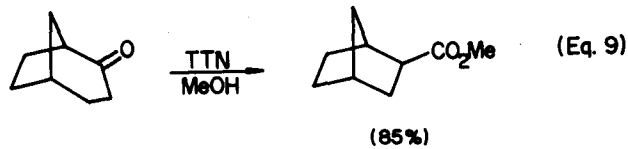


Neste caso, a formação do epóxido intermediário 7 é pouco provável (Eq. 8), e os autores sugerem que o mecanismo da contração seja semelhante àquele proposto anteriormente por Wiberg e Koch¹³.

ESQUEMA IV

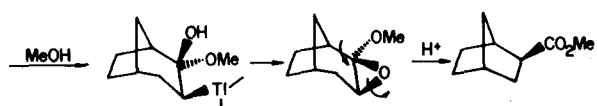
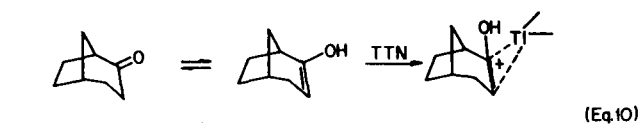


Tratamento da biciclo [3.2.1]-2-octanona com TTN em MeOH forneceu o produto de contração de ciclo em 85% de rendimento (Eq. 9)¹⁶.



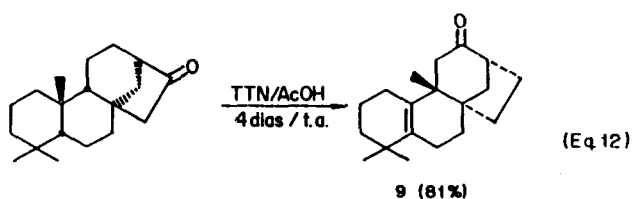
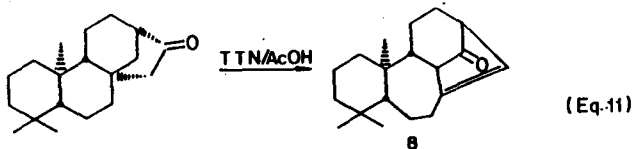
Examinando a reação de ciclobutanona com sais de tálio (III) e com dióxido de selênio, Conia et al.¹⁵ chegaram aos resultados mostrados no ESQUEMA V.

A obtenção exclusiva do isômero exo é consistente com o mecanismo proposto por McKillop¹⁴, ou seja, de que haja formação de um epóxido intermediário (Eq. 10).



Dos exemplos discutidos acima, pode-se concluir que não é possível fazer uma generalização sobre o mecanismo da contração de anel em cetonas cílicas.

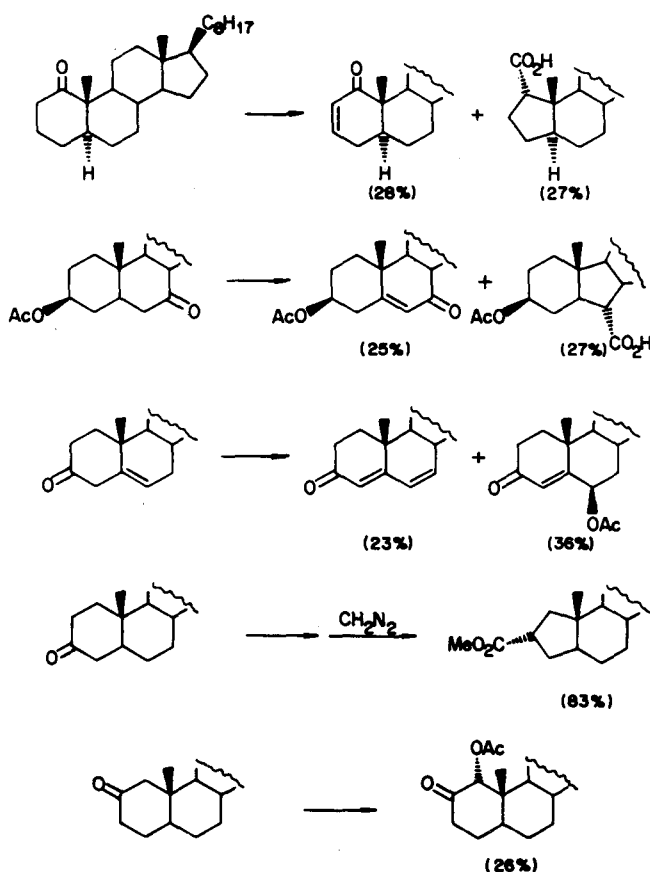
O tratamento de ent-17-norkauran-16-ona com TTN/AcOH fornece como principal produto o composto 8¹⁷, ao passo que a 17-norkauran-16-ona leva ao produto 9¹⁸ (Eq. 11 e 12).



A oxidação de cetonas esteroidais por sais de tálio (III) foi objeto de estudo de vários pesquisadores, sendo que também nestes casos não é possível fazer uma generalização dos resultados obtidos. A formação de diferentes produtos depende intimamente da estrutura do substrato e das condições utilizadas.

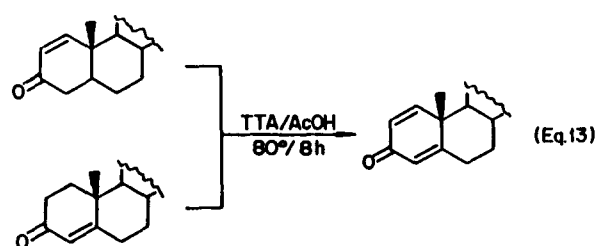
Assim é que a oxidação de uma série de cetonas esteroidais, estudada por Romeo e Ortá^{19,20}, forneceu diferentes produtos, dependendo da posição da carbonila (ESQUEMA VI).

ESQUEMA VI

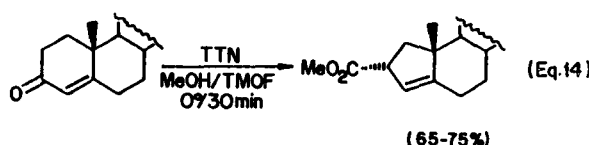


(Condições utilizadas : TTA/AcOH/80°C)

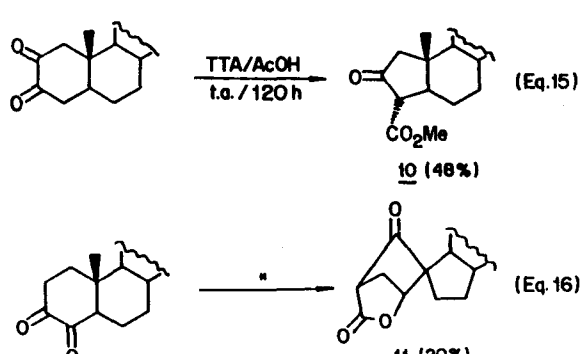
A principal reação sofrida por 3-ceto- Δ^1 ou Δ^4 -esteróides, quando tratados com TTA, é a desidrogenação, levando às 1,4-dien-3-onas correspondentes (Eq. 13)¹⁹.



A utilização de TTN em MeOH/TMOF, entretanto, promove a contração-de anel de 3-ceto- Δ^4 -esteróides, com rendimentos razoáveis (Eq. 14)²¹.

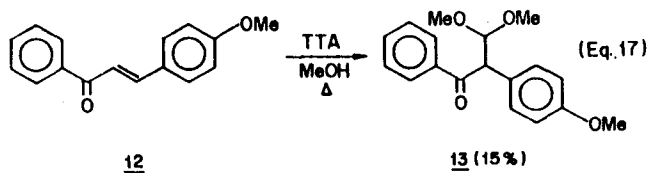


espíro-derivado 11 (Eq. 16), conforme a posição das carbonilas²².



2.3. Reações com cetonas alfa, beta-insaturadas

Os primeiros estudos sobre a oxitaliação de cetonas alfa, beta-insaturadas foram efetuados no final da década de sessenta, por Ollis et al.²³⁻²⁵, que descrevem a síntese de isoflavonas baseada na oxidação de chalconas com triacetato de tálio (TTA). Anteriormente, Uemura et al.²⁶ haviam relatado que cetonas alfa, beta-insaturadas não reagem com sais de tálio (III). Ollis et al., entretanto, mostraram que o tratamento de chalconas ativadas, tais como o derivado 4-metoxilado 12, com TTA/MeOH a refluxo por 100 horas, resulta na formação do acetal 13, embora em baixo rendimento (Eq. 17)²⁴.

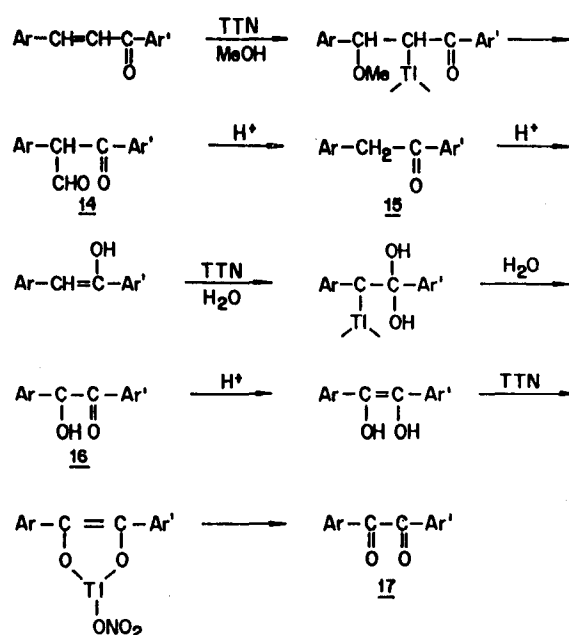


Posteriormente, McKillop e Taylor^{27,28} verificaram que chalconas simples sofrem rearranjo quando tratadas com 3 equivalentes de TTN, levando aos derivados alfa-dicarbonílicos correspondentes, segundo o mecanismo esquematizado a seguir (ESQUEMA VII).

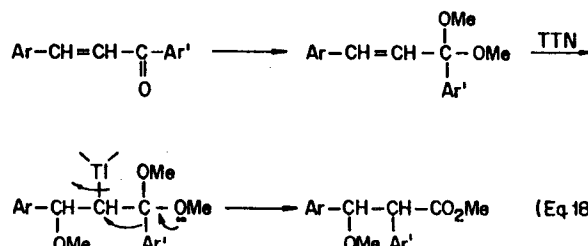
Três distintas oxidações são, portanto, envolvidas nesta conversão: rearranjo oxidativo da chalcona, levando ao beta ceto-aldeído 14, que é convertido à deoxibenzoína 15, através de uma clivagem retro-Claisen catalisada por ácido; oxitaliação de 15, através de sua forma enólica, levando à benzoína 16; e, finalmente, oxidação de 16 com outro equivalente de TTN, fornecendo o benzilo 17.

Por outro lado, a conversão prévia das chalconas aos dimetilcetais correspondentes — efetuada “in situ” usando-se TMOF como co-solvente — seguida de reação com TTN, leva aos 2,3-diaryl-3-metoxipropanoatos de metila, através da migração do grupo Ar’ (Eq.

ESQUEMA VII



18)^{29,30}. Cinamaldeídos sofrem o mesmo tipo de rearranjo⁴.

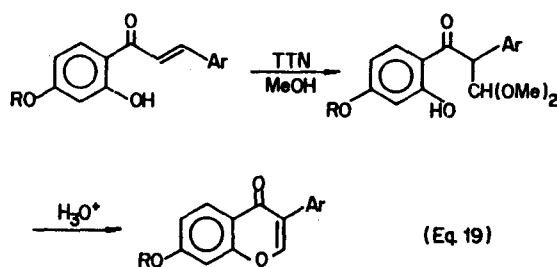


Alguns exemplos representativos desta conversão são mostrados na Tabela 4³⁰.

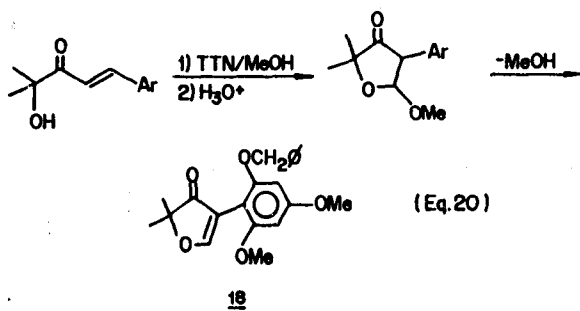
ArCH=CH-C(=O)-Ar'	TTN MeOH/TMOF	ArCH(O)-CH-C(=O)-OMe Ar'
-------------------	------------------	-----------------------------

Ar	Ar'	rendimento (após recristalização)
fenila	fenila	31%
fenila	4-metoxifenila	37%
fenila	4-metilfenila	59%
4-clorofenila	fenila	81%
4-clorofenila	4-metoxifenila	61%
2-clorofenila	fenila	45%
4-nitrofenila	fenila	62%
4-nitrofenila	4-metoxifenila	32%
3-nitrofenila	4-metoxifenila	64%

Farkas, Antus et al.³¹⁻³⁵ aplicaram o rearranjo oxidativo de 2'-hidroxi-chalconas à síntese de várias isoflavonas, conforme o exemplo geral esquematizado a seguir (Eq. 19).

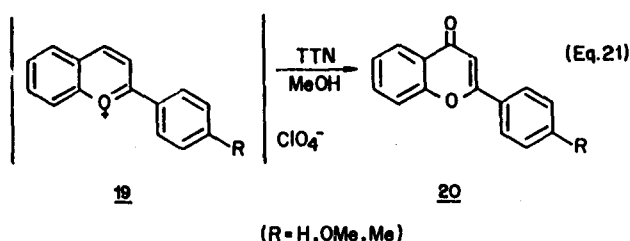


O produto 18, intermediário-chave para a síntese da flavona Tacrosin, foi obtido de maneira análoga (Eq. 20)³⁶.

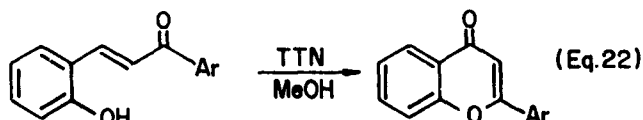


A aplicação de TTN à síntese de diversos flavonóides foi explorada também por Roux et al.³⁷⁻³⁹.

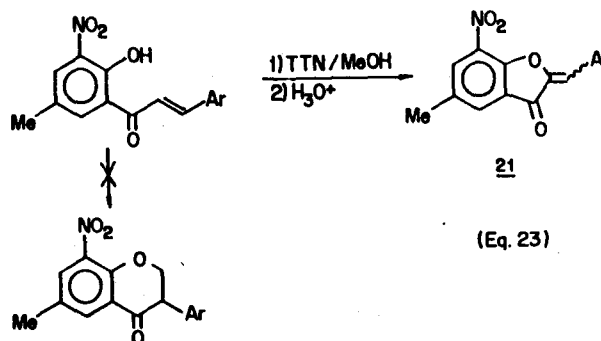
A oxidação do perclorato de flavílio 19 com TTN em MeOH leva a flavonas de fórmula geral 20 (Eq. 21)⁴⁰.



Os mesmos autores observaram que 2-hidroxi-chalconas, ao contrário das 2'-hidroxi-chalconas, são transformadas com bons rendimentos nas flavonas correspondentes (Eq. 22)⁴⁰.

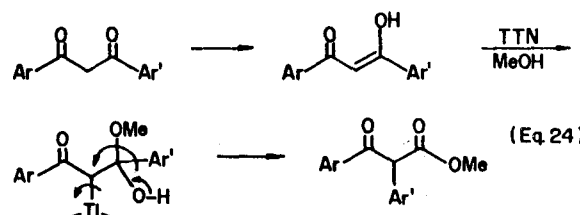


Varma^{41,42} observou que a presença de um grupo nitro na posição 3' de hidroxi-chalconas induz a formação de produtos ciclizados do tipo 21, não ocorrendo, portanto, o rearranjo oxidativo que levaria à isoflavanona correspondente (Eq. 23).



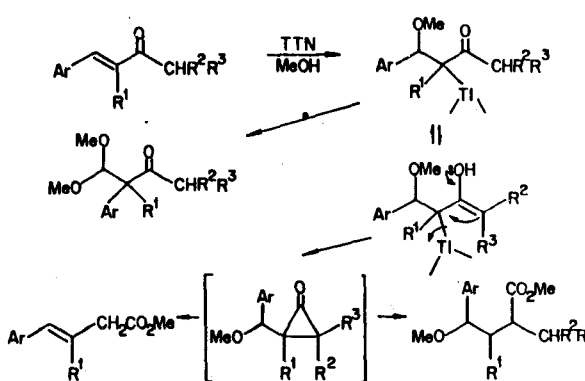
Os autores afirmam que apenas os 3'-nitro-derivados levam a este tipo de produto. Nas mesmas condições reacionais, 5'-nitro e 4-nitro-chalconas não fornecem as auronas 21 correspondentes.

Derivados de 1,3-diaryl-1,3-propanodionas sofrem o mesmo tipo de rearranjo oxidativo das chalconas, através de sua forma enólica, fornecendo beta-ceto-ésteres em bons rendimentos (Eq. 24)⁴³.



Os mesmos autores⁴⁴ descrevem ainda o rearranjo oxidativo de arilidenocetonas por tratamento com TTN em metanol, levando à mistura de produtos mostrados no Esquema VIII.

ESQUEMA VIII

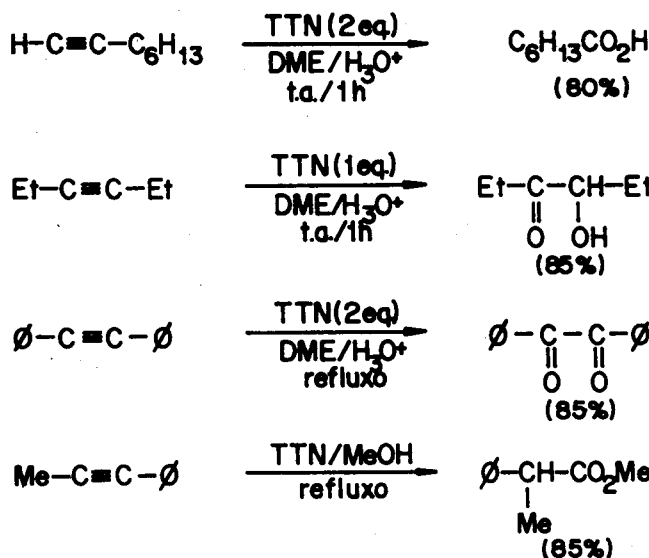


3. SUBSTRATOS ACETILÊNICOS

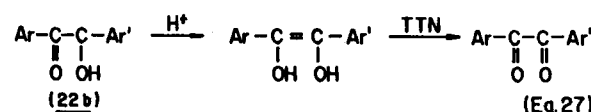
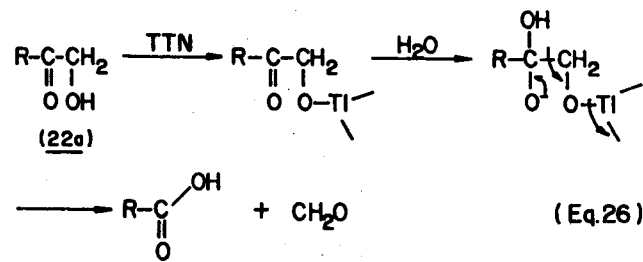
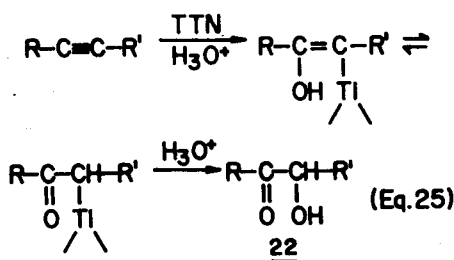
Estudando a reação de vários tipos de acetilenos com trinitrato de tálio, McKillop et al.^{45,46} observaram que a hidratação da tripla ligação, ao contrário do que ocorre na reação com sais de mercúrio (II), é um processo minoritário. Acetilenos são oxidados por sais de tálio (III), sendo que a natureza do produto formado depende fundamentalmente da estrutura do acetíleno de partida e das condições reacionais empregadas.

Assim, acetilenos monoalquilados reagem exotermicamente com 2 equivalentes de TTN, em dimetoxietano e meio ácido, levando ao ácido carboxílico contendo um carbono a menos do que o material de partida. Nas mesmas condições reacionais, dialquilacetilenos são convertidos em aciloínas por tratamento com 1 equivalente de TTN. Diarilacetilenos, por sua vez, reagem com 2 equivalentes de TTN formando benzilos. Finalmente, alkilarylacetilenos fornecem uma mistura de produtos; em solução etanólica, entretanto, ocorre rearranjo oxidativo, formando arilacetatos de metila. Exemplos ilustrativos são dados no **ESQUEMA IX⁴⁵**.

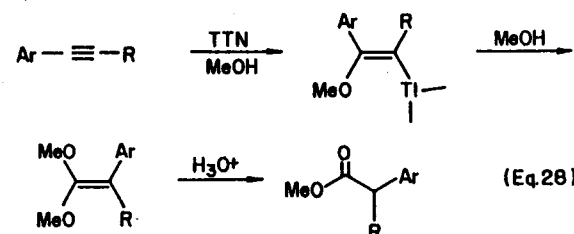
ESQUEMA IX



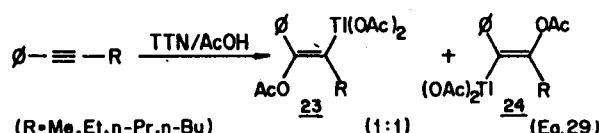
Os autores sugerem o mecanismo esquematizado a seguir para explicar a formação dos diferentes produtos. Inicialmente há formação da aciloína 22, à qual pode ou não reagir com outro equivalente de TTN, dependendo da natureza dos substituintes (Eq. 25, 26 e 27).



O rearranjo oxidativo, por sua vez, ocorre apenas com arilalquilacetilos em meio metanólico, através do seguinte mecanismo (Eq. 28).

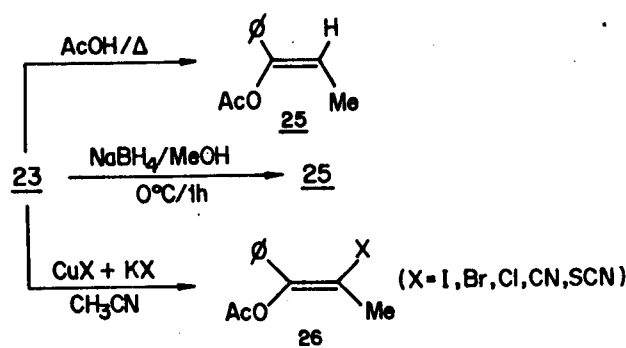


A oxidação de vários acetilenos com TTA em ácido acético foi estudada por Uemura et al.⁴⁷⁻⁴⁹, que conseguiram isolar e caracterizar os adutos oxitaliados de alquilfenilacetilenos (Eq. 29).

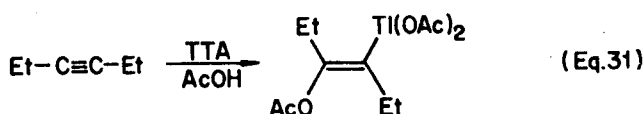
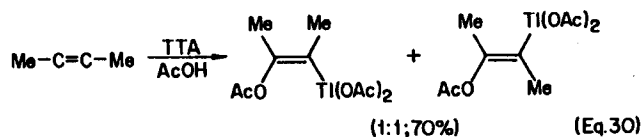


O adulto 23 ($R = Me$), após refluxo em ácido acético por 2 horas, forneceu 25 como principal produto, com retenção total de configuração⁴⁸. O mesmo produto 25 foi obtido em bom rendimento pelo tratamento de 23 com hidreto de boro e sódio, enquanto que sua reação com sais de cobre levou ao produto de substituição correspondente 26 (ESQUEMA X)⁴⁹.

ESQUEMA X



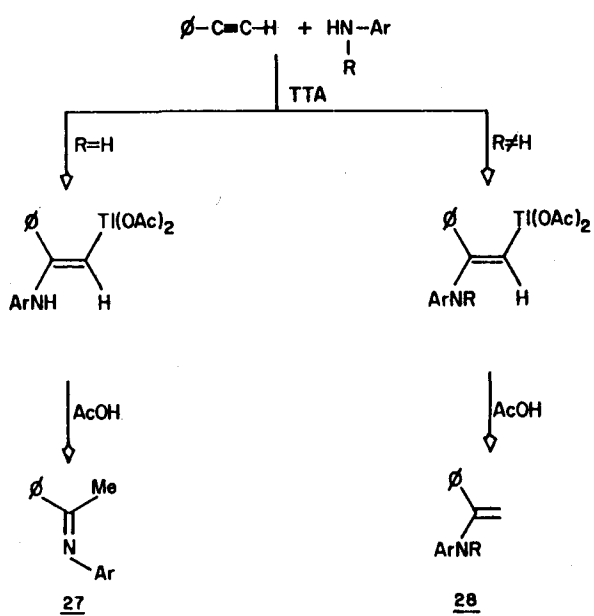
Adutos oxitaliados estáveis foram também obtidos pela reação de dialquilacetilos com TTA em ácido acético (Eq. 30 e 31)⁵⁰.



Estudos cinéticos sobre a oxidação de fenilacetilenos com sais de tálio (III) foram efetuados por Deschamps e Zador⁵¹.

A adição de aminas aromáticas a fenilacetilenos, promovida por TTA, leva à imina 27 ou à enamina 28, dependendo da amina utilizada (ESQUEMA XI)^{52,53}.

ESQUEMA XI

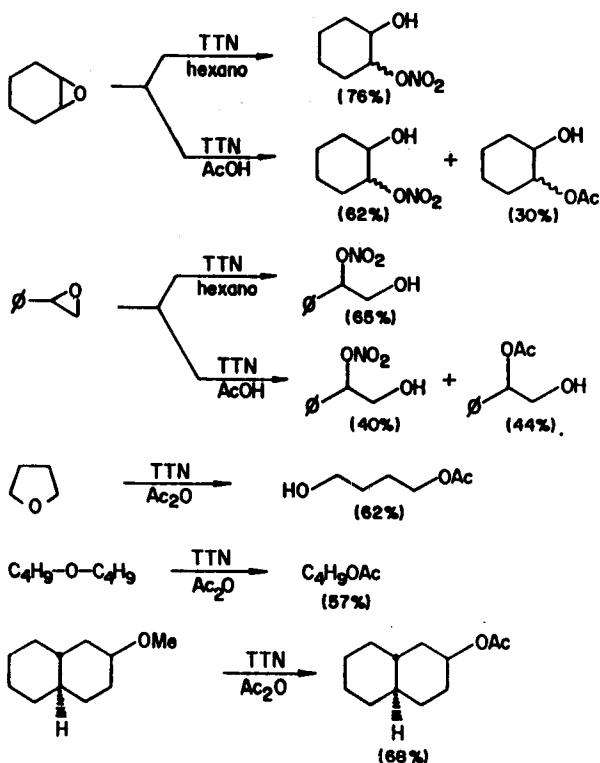


4. REAÇÕES DIVERSAS

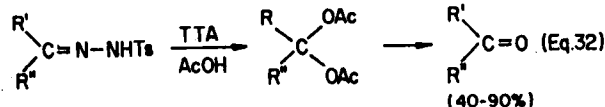
Outras reações envolvendo sais de tálio (III) e substratos insaturados não-aromáticos, e que não se enquadram nos itens anteriores, serão mostradas a seguir.

A clivagem de éteres e epóxidos foi efetuada com bons rendimentos usando-se TTN em diversos solventes⁵⁴; alguns exemplos representativos são mostrados no ESQUEMA XII.

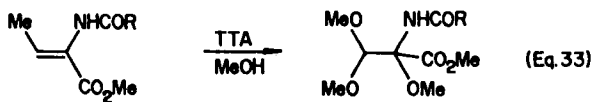
ESQUEMA XII



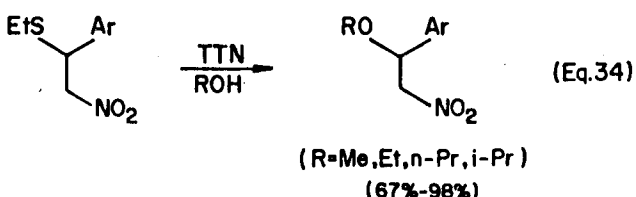
O tratamento de hidrazonas com TTA revelou-se um eficiente método de regeneração do composto carbonílico (Eq. 32)⁵⁵.



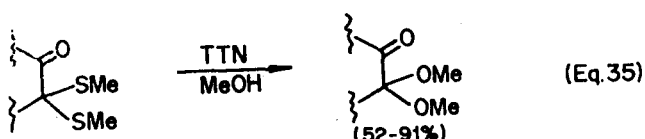
A reação de alfa-acilaminocrotonatos com TTA em metanol levou à formação de uma mistura diastereomérica de derivados alfa, beta-dimetoxilados, com rendimentos da ordem de 50% (Eq. 33)⁵⁶.



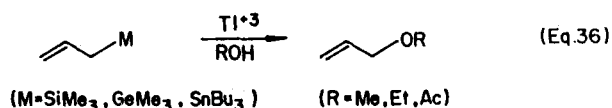
A transformação de tioéter em éter, pelo emprego de TTN em diversos álcoois, foi descrita por Fujita et al. (Eq. 34)⁵⁷.



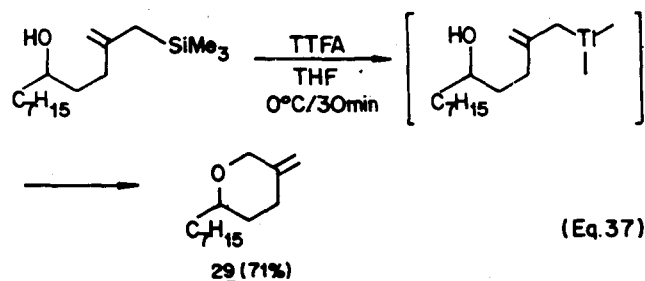
Numa extensão deste procedimento, tiocetais foram convertidos em cetais por tratamento com TTN em metanol (Eq. 35)⁵⁸.



A obtenção de éteres e acetatos alílicos a partir de derivados alilmetálicos do grupo IVb, por reação com sais de tálio em álcool ou ácido acético, foi recentemente descrita (Eq. 36)⁵⁹.



Esta reação foi aplicada à síntese do éter cíclico 29, através de uma substituição intramolecular do interme-díario taliado (Eq. 37).



REFERÊNCIAS

- ¹ Ferraz, H.M.C.; *Química Nova* (1987) **10**, 106.
- ² McKillop, A.; Swann, B.P.; Taylor, E.C.; *J. Am. Chem. Soc.* (1971) **93**, 4919.
- ³ McKillop, A.; Swann, B.P.; Taylor, E.C.; *J. Am. Chem. Soc.* (1973) **95**, 3340.
- ⁴ Taylor, E.C.; Robey, R.L.; Liu, K.T.; Favre, B.; Bozimo, H.T.; Conley, R.A.; Chiang, C.S.; McKillop, A.; Ford, M.E.; *J. Am. Chem. Soc.* (1976) **98**, 3037.
- ⁵ Taylor, E.C.; Chiang, C.S.; McKillop, A.; White, J.F.; *J. Am. Chem. Soc.* (1976) **98**, 6750.
- ⁶ Walker, J.A.; Pillai, M.D.; *Tetrahedron Lett.* (1977) 3707.
- ⁷ Taylor, E.C.; Conley, R.A.; Katz, A.H.; McKillop, A.; *J. Org. Chem.* (1984) **49**, 3840.
- ⁸ McKillop, A.; Young, D.W.; Edwards, M.; Hug, R.P.; Taylor, E.C.; *J. Org. Chem.* (1978) **43**, 3773.
- ⁹ Bélanger, P.C.; Rooney, C.S.; Robinson, F.M.; Sarett, L.H.; *J. Org. Chem.* (1978) **43**, 906.
- ¹⁰ Ahlbrecht, H.; Hagena, D.; *Chem. Ber.* (1976) **109**, 2345.
- ¹¹ Littler, J.S.; *J. Chem. Soc.* (1962) 827.
- ¹² Kabbe, H.J.; *Ann.* (1962) **656**, 204.
- ¹³ Wiberg, K.B.; Koch, W.; *Tetrahedron Lett.* (1966) 1779.
- ¹⁴ McKillop, A.; Hunt, J.D.; Taylor, E.C.; *J. Org. Chem.* (1972) **37**, 3381.
- ¹⁵ Salaun, J.; Garnier, B.; Conia, J.M.; *Tetrahedron* (1974) **30**, 1423.
- ¹⁶ Irwin, A.J.; Jones, J.B.; *J. Org. Chem.* (1977) **42**, 2176.
- ¹⁷ Fujita, E.; Ochiai, M.; *J. Chem. Soc. Perkin I* (1977) 1182.
- ¹⁸ Fujita, E.; Ochiai, M.; *Can. J. Chem.* (1978) **56**, 246.
- ¹⁹ Romeo, A.; Ortar, G.; *Tetrahedron* (1972) **28**, 5337.
- ²⁰ Ortar, G.; Romeo, A.; *J. Chem. Soc. Perkin I* (1976) 111.
- ²¹ Mincione, E.; Barraco, P.; Forcellese, M.L.; *Gazz. Chim. Ital.* (1980) **110**, 515.
- ²² Maione, A.M.; Romeo, A.; Cerrini, S.; Fedeli, W.; Mazza, F.; *Tetrahedron* (1981) **37**, 1407.
- ²³ Ollis, W.D.; Ormand, K.L.; Sutherland, I.O.; *J. Chem. Soc. Chem. Comm.* (1968) 1237.
- ²⁴ Ollis, W.D.; Ormand, K.L.; Sutherland, I.O.; *J. Chem. Soc. (C)* (1970) 119.
- ²⁵ Ollis, W.D.; Ormand, K.L.; Redman, B.T.; Roberts, R.J.; Sutherland, I.O.; *J. Chem. Soc. (C)* (1970) 125.
- ²⁶ Uemura, S.; Kito, R.; Ichikawa, K.; *Nippon Kagaku Zasshi* (1966) **87**, 986; *C.A.* **65**: 19962 (1966).
- ²⁷ McKillop, A.; Swann, B.P.; Taylor, E.C.; *Tetrahedron Lett.* (1970) 5281.
- ²⁸ McKillop, A.; Swann, B.P.; Ford, M.E.; Taylor, E.C.; *J. Am. Chem. Soc.* (1973) **95**, 3641.
- ²⁹ Taylor, E.C.; Conley, R.A.; Johnson, D.K.; McKillop, A.; *J. Org. Chem.* (1977) **42**, 4167.
- ³⁰ Taylor, E.C.; Conley, R.A.; Johnson, D.K.; McKillop, A.; Ford, M.E.; *J. Org. Chem.* (1980) **45**, 3433.
- ³¹ Farkas, L.; Gottsegen, A.; Nógrádi, M.; Antus, S.; *J. Chem. Soc. Chem. Comm.* (1972) 825.
- ³² Farkas, L.; Gottsegen, A.; Nógrádi, M.; Antus, S.; *J. Chem. Soc. Perkin I* (1974) 305.
- ³³ Antus, S.; Farkas, L.; Bologh, Z.K.; Nográdi, M.; *Chem. Ber.* (1975) **108**, 3883.
- ³⁴ Antus, S.; Farkas, L.; Gottsegen, A.; Bologh, Z.K.; Nográdi, M.; *Chem. Ber.* (1976) **109**, 3811.
- ³⁵ Antus, S.; Nográdi, M.; *Chem. Ber.* (1979) **112**, 480.
- ³⁶ Antus, S.; Farkas, L.; Nográdi, M.; Sohár, P.; *J. Chem. Soc. Chem. Comm.* (1974) 799.
- ³⁷ Fourie, T.G.; Ferreira, D.; Roux, D.G.; *J. Chem. Soc. Perkin I* (1977) 125.

- ³⁸ Oberholzer, M.E.; Rall, G.J.H.; Roux, D.G.; *J. Chem. Soc. Perkin I* (1977) 423.
- ³⁹ Van Heerden, F.R.; Brandt, E.V.; Roux, D.G.; *J. Chem. Soc. Perkin I* (1978) 137.
- ⁴⁰ Meyer-Dayan, M.; Bodo, B.; Vallet, C.D.; Molho, D.; *Tetrahedron Lett.* (1978) 3359.
- ⁴¹ Varma, R.S., *Chem. Ind. (London)* (1982) 56.
- ⁴² Varma, R.S.; Varma, M.; *Tetrahedron Lett.* (1982) 23, 3007.
- ⁴³ Antus, S.; Gacs, E.B.; Boross, F.; Nogradi, M.; Solyom, A.; *Ann.* (1980), 1271.
- ⁴⁴ Antus, S.; Boross, F.; Peredy, M.K.; Radics, L.; Nogradi, M.; *Ann.* (1980), 1283.
- ⁴⁵ McKillop, A.; Oldenziel, O.H.; Swann, B.P.; Taylor, E.C.; Robey, R.L.; *J. Am. Chem. Soc.* (1971) 93, 7331.
- ⁴⁶ McKillop, A.; Oldenziel, O.H.; Swann, B.P.; Taylor, E.C.; Robey, R.L.; *J. Am. Chem. Soc.* (1973) 95, 1296.
- ⁴⁷ Uemura, S.; Kitoh, R.; Fujita, K.; Ichikawa, K.; *Bull. Chem. Soc. Jap.* (1967) 40, 1499.
- ⁴⁸ Uemura, S.; Sohma, K.; Tara, H.; Okano, M.; *Chem. Lett.* (1973) 545.
- ⁴⁹ Uemura, S.; Tara, H.; Okano, M.; Ichikawa, K.; *Bull. Chem. Soc. Jap.* (1974) 47, 2663.
- ⁵⁰ Sharma, R.; Fellers, N.H.; *J. Organomet. Chem.* (1973) 49, C69.
- ⁵¹ Deschamps, C.; Zador, M.; *J. Organomet. Chem.* (1981) 217, 303.
- ⁵² Barluenga, J.; Aznar, F.; *Synthesis* (1975) 704.
- ⁵³ Barluenga, J.; Aznar, F.; *Synthesis* (1977) 195.
- ⁵⁴ Mincione, E.; Lanciano, F.; *Tetrahedron Lett.* (1980) 21, 1149.
- ⁵⁵ Butler, R.N.; O'Donohue, A.M.; *Tetrahedron Lett.* (1979) 4583.
- ⁵⁶ Paradisi, M.P.; Zecchini, G.P.; *Tetrahedron* (1977) 33, 1729.
- ⁵⁷ Nagao, Y.; Kaneko, K.; Ochiai, M.; Fujita, E.; *J. Chem. Soc. Chem. Comm.* (1976) 202.
- ⁵⁸ Nagao, Y.; Kaneko, K.; Kawabata, K.; Fujita, E.; *Tetrahedron Lett.* (1978) 5021.
- ⁵⁹ Ochiai, M.; Fujita, E.; Arimoto, M.; Yamaguchi, H.; *Chem. Pharm. Bull.* (1984) 32, 5027.

ERRATA

(Relativa à Parte I deste trabalho, publicado em Q. Nova (1987) 10, 106)

— Nas páginas: 107, último parágrafo, 6^a linha; 116, primeiro parágrafo, 5^a linha; 117, último parágrafo, 5^a linha; onde se lê ÉSTERES, leia-se ÉTERES.

- Na página 108, último parágrafo, 3^a linha: onde se lê TTDA, leia-se TTFA.
- Na página 118, 1^a linha: onde se lê Iapachol, leia-se lapachol.
- A ref. nº 1 é: Chemistry in Britain (1973), 9, 4.
- A ref. nº 66 é: J. Am. Chem. Soc. (1974) 96, 7814.